



# Particle Simulation using CUDA:

<sup>1</sup>Edgar Andrés Patiño Nariño

Departamento de Mecânica Computacional – DMC

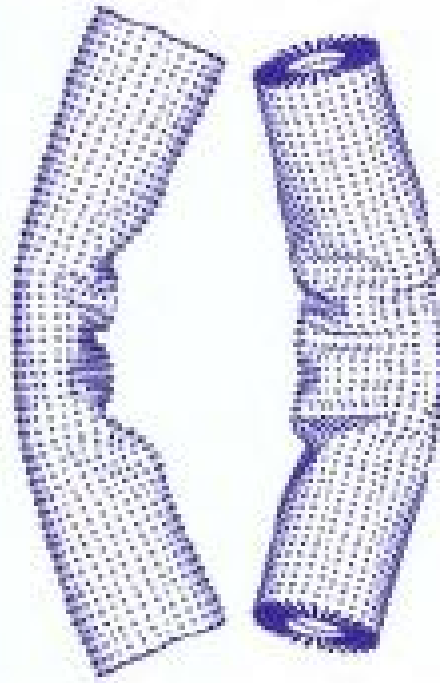
Faculdade de Engenharia Mecânica – FEM

Universidade Estadual de Campinas - UNICAMP

[<sup>1</sup>eapatinon@fem.unicamp.br](mailto:eapatinon@fem.unicamp.br)

# Introdução

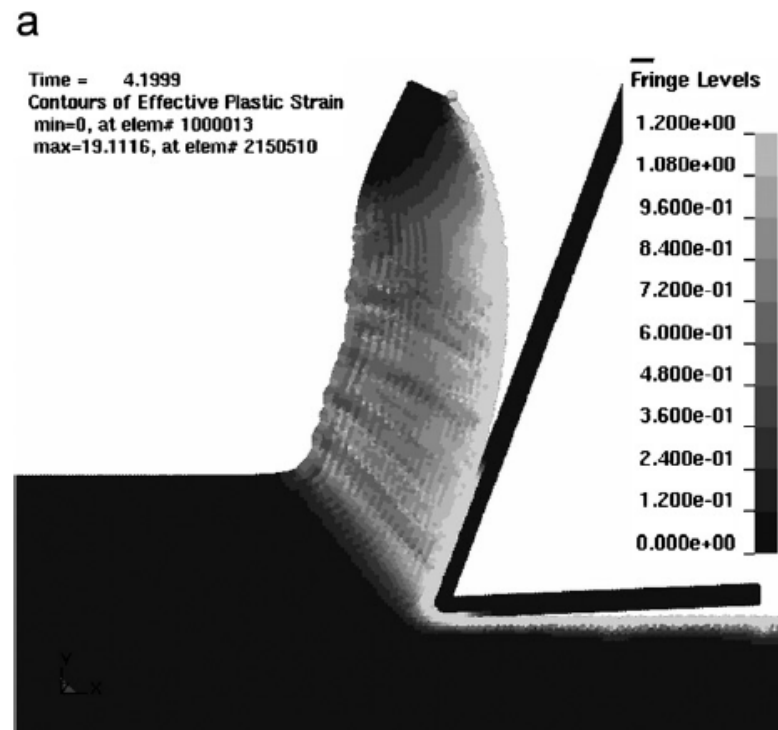
Os métodos de partículas [1] são técnicas comumente usadas na simulação de problemas físicos [2].



**Observação experimental de encurvatura de nanotubos de carbono de paredes múltiplas (b) Simulação de flambagem padrão MD em 2D. (c) Flambagem padrão da nanoestrutura MD em 3D [2].**

# Introdução

Os métodos de partículas [1] são técnicas comumente usadas na simulação de problemas físicos [2].



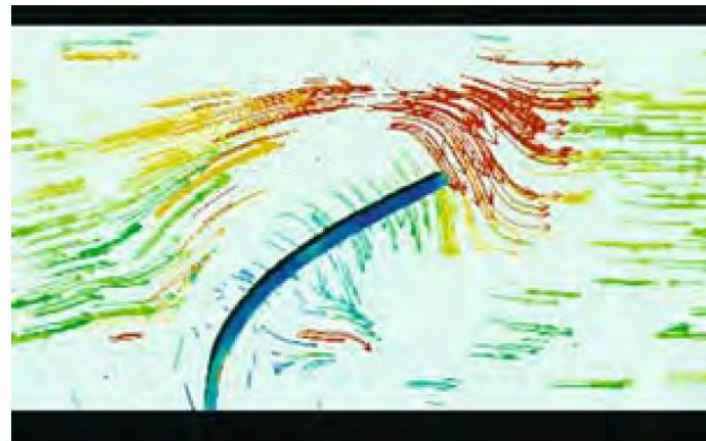
Limido, 2009, Usinagem  
Ortogonal  
SPH [3].

# Introdução

Os métodos de partículas [1] são técnicas comumente usadas na simulação de problemas físicos [2].



(a) Experiment

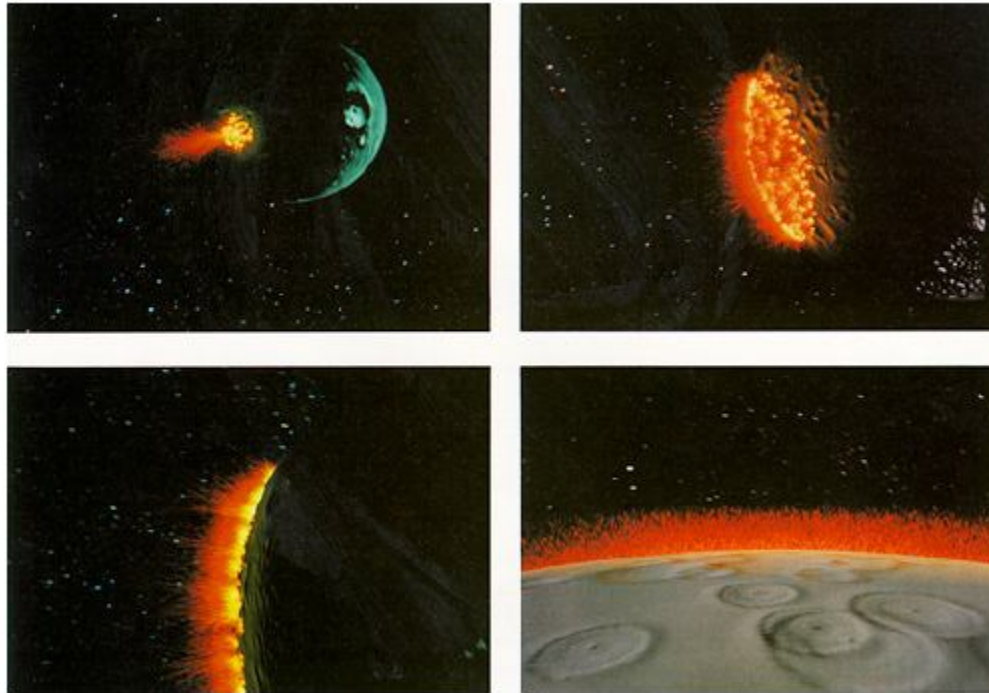


(b) Simulation

Comparação experimental e resultado de simulação de uma lâmina de borracha em deflexão por uma coluna de água [2].

# Introdução

Os métodos de partículas [1] são técnicas comumente usadas na simulação de problemas físicos [2].



*"Particle system: A technique for modeling a class of fuzzy objects"  
Rees 1983 [4].*

**Star Trek (Jornada nas estrelas): The Wrath of Khan**

# Simulação de fluidos baseados em partículas

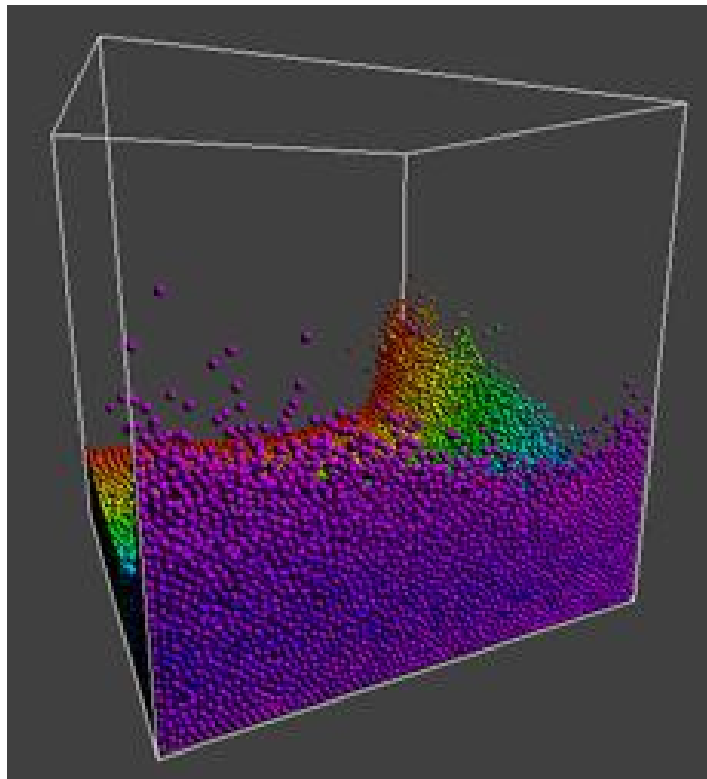
## Vantagem

- A conservação de massa é trivial.
- Fácil aplicação no problema de superfície livre.
- Apenas executa cálculos quando é necessário.
- Não precisa de malha.
- Fácil de paralelizar.

## Desvantagem

- Precisa de um longo número de partículas para resultados realistas .

# Particle Simulation using CUDA



<http://www.youtube.com/watch?v=RqduA7myZok>



# Particle Simulation using CUDA

```
102 // create a color ramp
103 void colorRamp(float t, float *r)
104 {
105     const int ncolors = 7;
106     float c[ncolors][3] =
107     {
108         { 1.0, 0.0, 0.0, },
109         { 1.0, 0.4, 0.0, },
110         { 1.0, 1.0, 0.0, },
111         { 0.0, 1.0, 0.0, },
112         { 0.0, 1.0, 1.0, },
113         { 1.0, 0.0, 1.0, },
114         { 1.0, 0.0, 0.0, },
115     };
116     t = t * (ncolors-1);
117     int i = (int) t;
118     float u = t - floor(t);
119     r[0] = lerp(c[i][2], c[i+1][2], u);
120     r[1] = lerp(c[i][1], c[i+1][1], u);
121     r[2] = lerp(c[i][0], c[i+1][0], u);
122 }
123 }
```

```
180         float t = i / (float) m_numParticles;
181 #if 0
182     *ptr++ = rand() / (float) RAND_MAX;
183     *ptr++ = rand() / (float) RAND_MAX;
184     *ptr++ = rand() / (float) RAND_MAX;
185 #else
186     colorRamp(t, ptr);
187     ptr+=3;
188 #endif
189     *ptr++ = 1.0f;
190 }
191
192     glUnmapBufferARB(GL_ARRAY_BUFFER);
193 }
194 else
195 {
196     checkCudaErrors(cudaMalloc((void **)&m_cudaColor);
197 }
198
199     sdkCreateTimer(&m_timer);
200
201     setParameters(&m_params);
202
203     m_bInitialized = true;
204 }
```



# Particle Simulation using CUDA

```
238 // step the simulation
239 void
240 ParticleSystem::update(float deltaTime)
241 {
242     assert(m_bInitialized);
243
244     float *dPos;
245
246     if (m_bUseOpenGL)
247     {
248         dPos = (float *) mapGLBufferObject(&m_cuda_posvbo_resource);
249     }
250     else
251     {
252         dPos = (float *) m_cudaPosVBO;
253     }
254
255     // update constants
256     setParameters(&m_params);
257
258     // integrate
259     integrateSystem(
260         dPos,
261         m_dVel,
262         deltaTime,
263         m_numParticles);
264
265     // calculate grid hash
266     calcHash(
267         m_dGridParticleHash,
268         m_dGridParticleIndex,
269         dPos,
270         m_numParticles);
271
272     // sort particles based on hash
273     sortParticles(m_dGridParticleHash, m_dGridParticleIndex, m_numParticles);
```

# Funções de transferência

**Desejável:** Distinguir variações abruptas, exibir as transições entre regiões de forma suave e permitir modificações em tempo real.

Dados de interesse

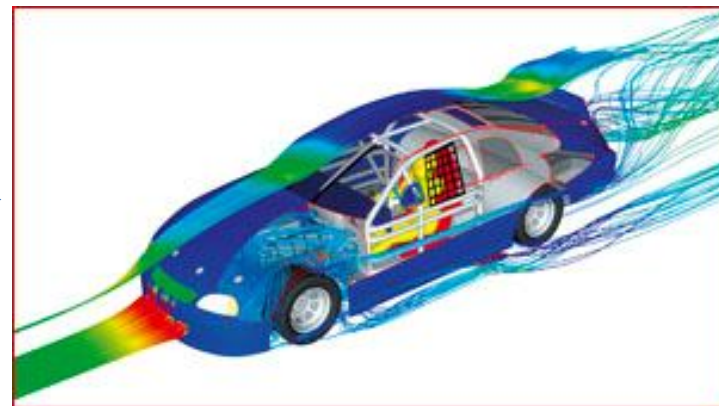


Características óticas



**Cores, Absorção e emissão**

<http://www.youtube.com/watch?v=3tkj7ImCjkc>



<http://www.automotiveproductsfinder.com/APFCONTENT/articles/cfd-comes-of-age.php>

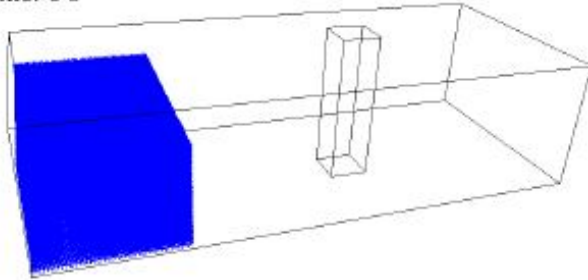
# Proposta de Projeto do curso

Modificar o código em CUDA “Particle Simulation using CUDA”:

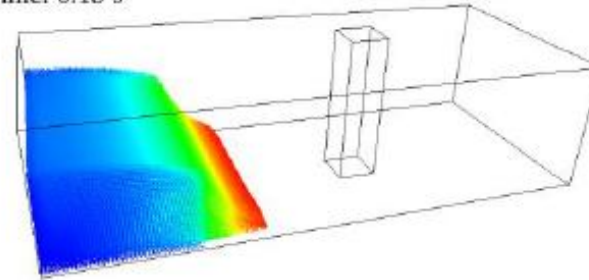
- Uso de *função de transferência*, para distinguir as velocidades das partículas em tempo real.
- Distinguir variações abruptas em uma *faixa de partículas*.

# Proposta de Projeto do curso

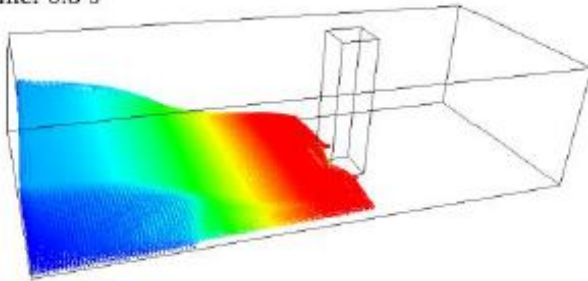
Time: 0 s



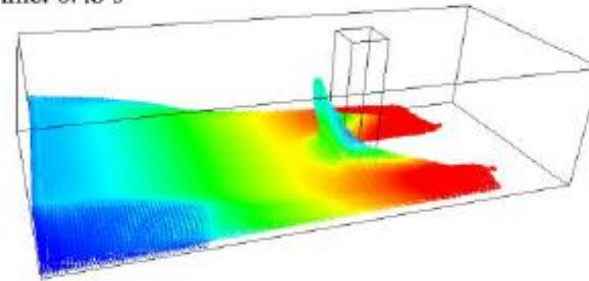
Time: 0.15 s



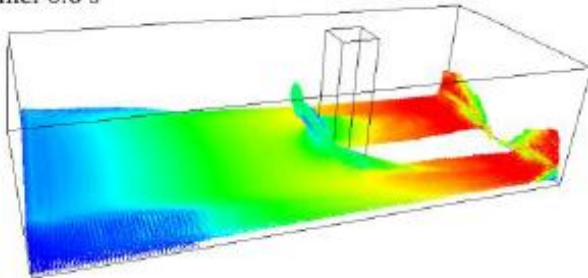
Time: 0.3 s



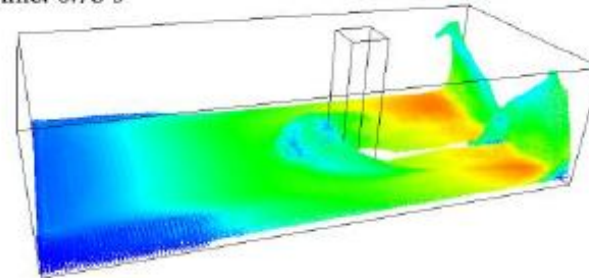
Time: 0.45 s



Time: 0.6 s



Time: 0.75 s



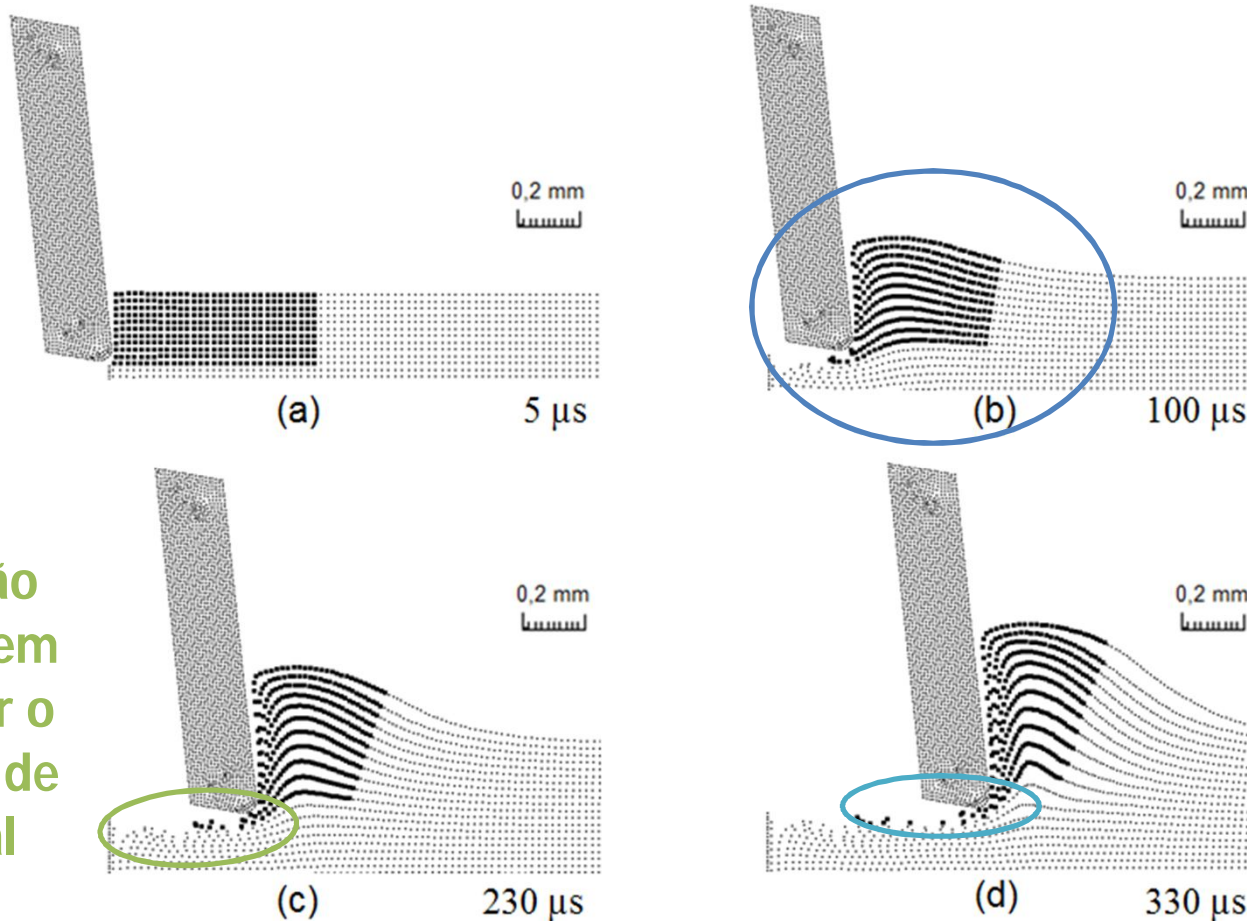
# Proposta de Projeto do curso

Remoção de Material e superfície gerada:

Penetração da ferramenta sobre o material de trabalho

Ponto de estancamento

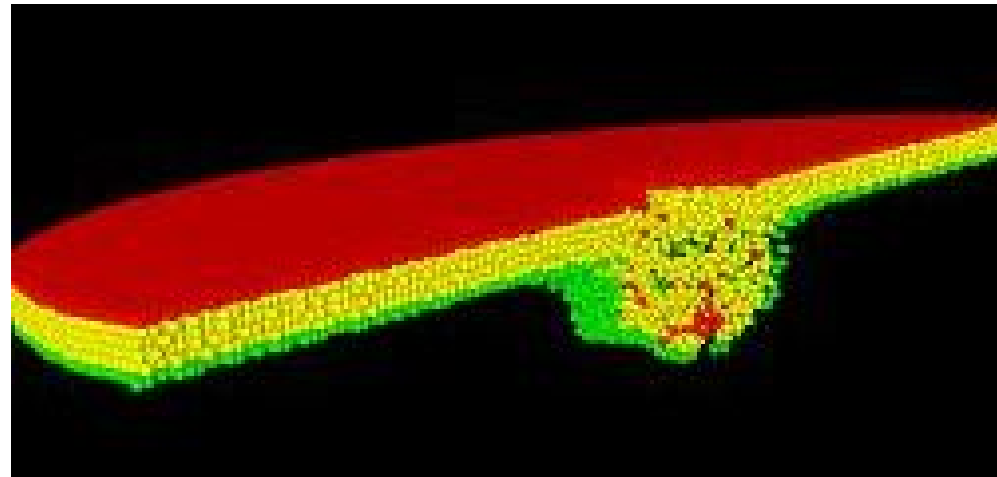
Separação Natural sem predefinir o arranque de material



# Proposta de Projeto do curso

Modificar o código em CUDA “Particle Simulation using CUDA”:

- Gerar corte, para visualização das partículas, em posições intermediárias .



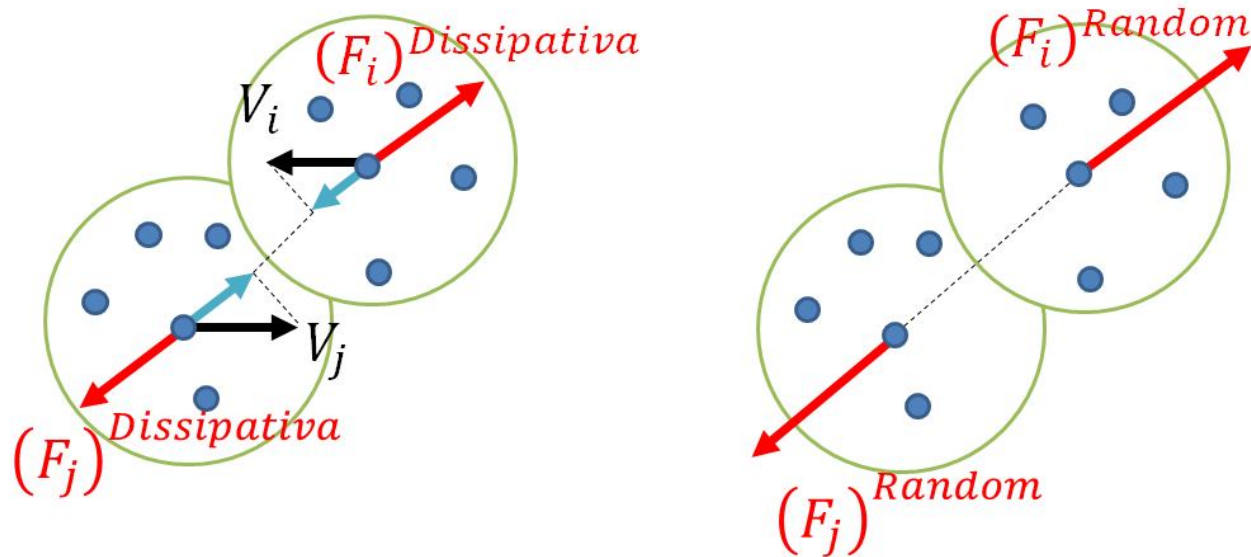
# Proposta de Projeto do curso

Modificar o código em CUDA “Particle Simulation using CUDA”:

- Para o processamento de colisões entre partículas mudando do *Discrete Element Methods* (**DEM**) [5] para o método *Dissipative Particle Dynamics* (**DPD**) [6].



# Dissipative Particle Dynamics



A **força Dissipativa** (atrito) reduz a relação entre pares de partículas.  
A **força Aleatória** (Random) compensa os graus de liberdade eliminados.  
As **forças Dissipativas e Aleatórias** formam o termostato do DPD.  
As grandezas das **forças Dissipativas e Aleatórias** são definidas pelo teorema de **Flutuação-dissipação**.

# Dissipative Particle Dynamics

$$d\mathbf{r}_i = \mathbf{v}_i dt$$

$$m_i d\mathbf{v}_i = \sum_{i \neq j} \mathbf{F}_{ij}^{(C)}(r_{ij}) \vec{e}_{ij} dt - \gamma \sum_{i \neq j} \omega^D(r_{ij}) (\mathbf{v}_{ij} \cdot \vec{e}_{ij}) \vec{e}_{ij} dt$$

$$+ \sigma \sum_{i \neq j} \omega^R(r_{ij}) \xi_{ij} \vec{e}_{ij} dW_{ij}$$

Atualização temporal por meio de Verlet Algorithm



Para velocidade  $V_i$  e Posicao  $X_i$  para tempo

$$t_{n+1} = t_n + \Delta t$$



**UNICAMP**

**Obrigado pela sua atenção**

**Perguntas?**

Edgar Andres Patiño Nariño  
([eapatinon@fem.unicamp.br](mailto:eapatinon@fem.unicamp.br))

# REFERÊNCIAS

- [1] S. Li, W. K. Liu, and Shaofan Li ·Wing Kam Liu, *Meshfree particle method*, vol. 25, no. 2–3. Berlin, Heidelberg: Springer Berlin Heidelberg, 2004, pp. 289–296 vol.1.
- [2] G. R. Liu, “Mesh Free Methods: Moving Beyond the Finite Element Method,” *Applied Mechanics Reviews*, vol. 56, no. 2, p. B17, 2003.
- [3] J. Limido, C. Espinosa, M. Salau, and J. L. Lacombe, “SPH method applied to high speed cutting modelling,” *International Journal of Mechanical Sciences*, vol. 49, pp. 898–908, 2007.
- [4] Ericson, C. (2004). Real-time collision detection. *Chemistry & ....*  
Retrieved from  
<http://onlinelibrary.wiley.com/doi/10.1002/cbdv.200490137/abstract>
- [5] A. A. Munjiza, *The Combined Finite-Discrete Element Method*. Wiley, 2004, p. 348.
- [6] M. Revenga, I. Zúñiga, and P. Español, “Boundary conditions in dissipative particle dynamics,” *Computer Physics Communications*, vol. 121–122, no. null, pp. 309–311, Sep. 1999.

# REFERÊNCIAS

- [7] M. Griebel, S. Knapek, and G. Zumbusch, *Numerical simulation in molecular dynamics*. Berlin, Heidelberg: Springer-Verlag Berlin Heidelberg, 2007.
- [8] Ericson, C. (2004). Real-time collision detection. *Chemistry & ...*  
Retrieved from  
<http://onlinelibrary.wiley.com/doi/10.1002/cbdv.200490137/abstract>.
- [9] Satish, N., Sciences, C., Harris, M., Garland, M., & Clara, S. (2009). Designing Efficient Sorting Algorithms for Manycore GPUs, (May), 1–10.
- [10] Nguyen, H. (2007). *Gpu gems 3*. Retrieved from  
<http://dl.acm.org/citation.cfm?id=1407436>
- [11] Hou, Q., Zhou, K., & Guo, B. (2008). BSGP: bulk-synchronous GPU programming. *ACM Transactions on Graphics (TOG)*. Retrieved from  
<http://dl.acm.org/citation.cfm?id=1360618>